Révision: 11065

Date: 28/05/2013 Page: 1/8

Titre: SSNA104 - Cylindre creux soumis à une pression, vi[...]

Responsable : Philippe DE BONNIERES Clé : V6.01.104

SSNA104 - Cylindre creux soumis à une pression, viscoélasticité linéaire

Résumé:

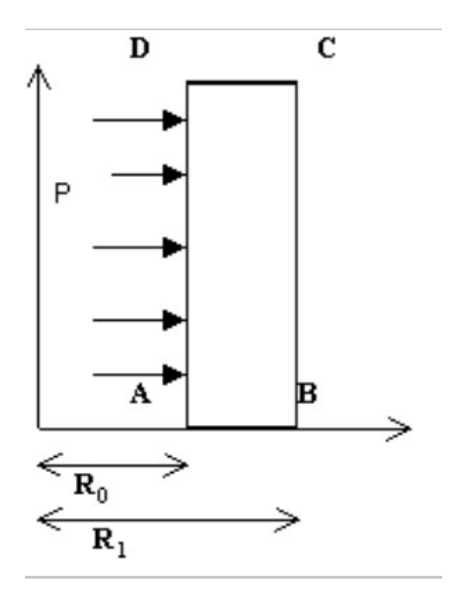
Ce cas-test permet de valider les lois de LEMAITRE et LEMA_SEUIL implantée dans *Code_Aster* dans le cas de comportement viscoélastique linéaire. Les résultats trouvés sont comparés à une solution analytique.

Titre: SSNA104 - Cylindre creux soumis à une pression, vi[...]

Date: 28/05/2013 Page: 2/8 Responsable: Philippe DE BONNIERES Clé: V6.01.104 Révision: 11065

Problème de référence

1.1 Géométrie



Dimensions du cylindre :

 R_0 1 *m* R_1 2m

Figure 1.1-a: Coupe du cylindre creux et chargement

1.2 Propriétés des matériaux

Module d'Young : E=1 MPaCoefficient de Poisson : y=0.3

Loi de LEMAITRE :

$$g(\sigma, \lambda, T) = \left(\frac{1}{K} \frac{\sigma}{\lambda^{\frac{1}{m}}}\right)^n \text{ avec } \frac{1}{K} = 1, \frac{1}{m} = 0, n = 1$$

Loi LEMA SEUIL:

$$g\left(\sigma\,,\lambda\,,T\right)\!=\!A\!\left(\frac{2}{\sqrt{3}}\,\sigma\right)\!\Phi\;\;\text{avec}\;\;A\!=\!\!\frac{\sqrt{3}}{2}\;,\;\;\Phi\!=\!1\;\;\text{sur tout le maillage}$$

$$S\!=\!10^{-10}$$

étant donné la valeur des différents paramètres matériaux, les deux lois sont absolument identiques et peuvent donc être comparés à la même solution analytique.

Date: 28/05/2013 Page: 3/8

Titre: SSNA104 - Cylindre creux soumis à une pression, vi[...]

Responsable : Philippe DE BONNIERES Clé : V6.01.104 Révision : 11065

1.3 Conditions aux limites et chargement

Conditions aux limites :

Le cylindre est bloqué en DY sur les côtés [AB] et [CD].

Chargement:

Le cylindre est soumis à une pression interne sur [DA]P0=1.E-3MPa

Date: 28/05/2013 Page: 4/8

Responsable : Philippe DE BONNIERES Clé : V6.01.104 Révision : 11065

2 Solutions de référence

2.1 Méthode de calcul utilisée pour les solutions de référence

L'ensemble de cette démonstration peut être lue avec plus de détails dans le document [bib1].

Dans le cas d'un matériau isotrope viscoélastique linéaire, on peut décrire le comportement au cours du temps à l'aide de deux fonctions $I\left(t\right)$ et $K\left(t\right)$ de telle sorte que les déformations et les contraintes peuvent s'écrire :

$$\varepsilon(t) = (I + K) * \frac{d\sigma(t)}{d\tau} - K * \frac{d(Tr(\sigma(t)))}{d\tau} I_3$$

où $\,I_{\,3}\,$ désigne la matrice identité de rang 3

et * le produit de convolution : $(f*g)(t) = \int_0^t f(t-\tau) g(\tau) d\tau$

On trouve
$$I(t) = \frac{1}{E} + kt$$
, $K(t) = \frac{v}{E} + \frac{1}{2}kt$

On utilise la transformée de Laplace Carson $f^+(n) = L(f(t)) = n \int_0^\infty f(t) e^{-nt} dt$

D'où
$$p^+ = P_0$$

La solution du problème élastique équivalent est :

$$\sigma^{+} = \begin{pmatrix} \gamma \left(1 - \frac{r_{1}^{2}}{r^{2}}\right) & 0 & 0 \\ 0 & \gamma \left(1 + \frac{r_{1}^{2}}{r^{2}}\right) & 0 \\ 0 & 0 & \sigma_{z}^{+} \end{pmatrix} \quad \text{où } \gamma = \frac{P_{0}r_{0}^{2}}{r_{1}^{2} - r_{0}^{2}}$$

On détermine $\,\sigma_Z^{^+}\,$ par la condition sur $\,\varepsilon_Z^{^+}\,$ donnée par les conditions aux limites :

$$\begin{split} \varepsilon_Z^+ &= 0 = (I^+ + K^+) \, \sigma_Z^+ - K^+ (2 \, \gamma + \sigma_Z^+) = I^+ \, \sigma_Z^+ - 2 \, K^+ \, \gamma \\ \text{D'où} \quad \sigma_Z^+ &= \gamma \left(1 + \frac{(2 \, \nu - 1) \, p}{p + E k} \right). \end{split}$$

Titre: SSNA104 - Cylindre creux soumis à une pression, vi[...]

Responsable: Philippe DE BONNIERES

Date: 28/05/2013 Page: 5/8 Clé: V6.01.104 Révision: 11065

On trouve par la transformée de Laplace inverse $\sigma_z(t) = \gamma (1 - (1 - 2 \, \nu) \, e^{-Eht})$, de même en appliquant la transformée de Laplace inverse sur $\,\sigma_{r}\,$ et $\,\sigma_{\theta}$, on trouve

$$\sigma^{+} = \begin{vmatrix} y \left(1 - \frac{r_1^2}{r^2} \right) & 0 & 0 \\ 0 & y \left(1 + \frac{r_1^2}{r^2} \right) & 0 \\ 0 & 0 & y \left(1 - (1 - 2v)e^{-Eht} \right) \end{vmatrix}$$

$$\dot{\varepsilon_{V}} = \begin{vmatrix} \frac{3}{2}k \, y \left(\frac{1 - 2 \, v}{3} e^{-Ekt} - \frac{r_{1}^{2}}{r^{2}} \right) & 0 & 0 \\ 0 & \frac{3}{2}k \, y \left(\frac{1 - 2 \, v}{3} e^{-Ekt} - \frac{r_{1}^{2}}{r^{2}} \right) & 0 \\ 0 & 0 & -k \, y \left((1 - 2 \, v) e^{-Eht} \right) \end{vmatrix}$$

et en intégrant avec $\varepsilon_{V}(0)=0$;

$$\dot{\varepsilon_{V}} = \begin{vmatrix} \frac{3}{2} \gamma \left(\frac{1 - 2 \nu}{3} e^{-Ekt} - k \frac{r_{1}^{2}}{r^{2}} t \right) & 0 & 0 \\ 0 & \frac{3}{2} \gamma \left(\frac{1 - 2 \nu}{3} e^{-Ekt} - k \frac{r_{1}^{2}}{r^{2}} t \right) & 0 \\ 0 & 0 & -\gamma \frac{(1 - 2 \nu)}{E} (1 - e^{-Eht}) \end{vmatrix}$$

On en déduit le déplacement radial

$$w(r,t) = r y \left[\frac{1}{E} \left[(1+v) \frac{r_1^2}{r^2} + \frac{1-2v}{2} (3-(1-2v)e^{-Ekt}) \right] + \frac{3}{2} k \frac{r_1^2}{r^2} t \right]$$

2.2 Résultats de référence

Déplacement DX sur le nœud B et les contraintes SIXX, SIYY et SIZZ en B

2.3 Incertitude sur la solution

0%: solution analytique

2.4 Références bibliographiques

Ph. De BONNIERES: Deux solutions analytiques de problèmes axisymétriques en viscoélasticité linéaire et avec contact unilatéral, Note HI-71/8301

Titre : SSNA104 - Cylindre creux soumis à une pression, vi[...]

Date: 28/05/2013 Page: 6/8 Responsable : Philippe DE BONNIERES Clé: V6.01.104 Révision: 11065

Modélisation A 3

3.1 Caractéristiques de la modélisation

Le problème est modélisé en axisymétrie.

3.2 Caractéristiques du maillage

1000 mailles QUAD4

3.3 Grandeurs testées et résultats

Identification	Instants	Référence
$\overline{DX(B)}$	0.9	2.14498 E-3
$\overline{SIXX(B)}$	0.9	0.0
$\overline{SIYY(B)}$	0.9	2.7912 E-4
$\overline{SIZZ(B)}$	0.9	6.66 E-4

Date: 28/05/2013 Page: 7/8

Titre: SSNA104 - Cylindre creux soumis à une pression, vi[...]

Responsable : Philippe DE BONNIERES Clé : V6.01.104 Révision : 11065

4 Modélisation B

4.1 Caractéristiques de la modélisation

Le problème est modélisé en axisymétrie

4.2 Caractéristiques du maillage

1000 mailles QUAD4

4.3 Grandeurs testées et résultats

Identification	Instants	Référence
DX(B)	0.9	2.14498 E-3
SIXX(B)	0.9	0.0
$\overline{SIYY(B)}$	0.9	2.7912 E-4
SIZZ(B)	0.9	6.66 E-4



Version default

Titre : SSNA104 - Cylindre creux soumis à une pression, vi[...] Date: 28/05/2013 Page: 8/8 Responsable : Philippe DE BONNIERES

Clé: V6.01.104 Révision: 11065

5 Synthèse des résultats

Les résultats calculés par Code_Aster sont en accord avec les solutions analytiques mais dépendent très fortement du raffinement du maillage.